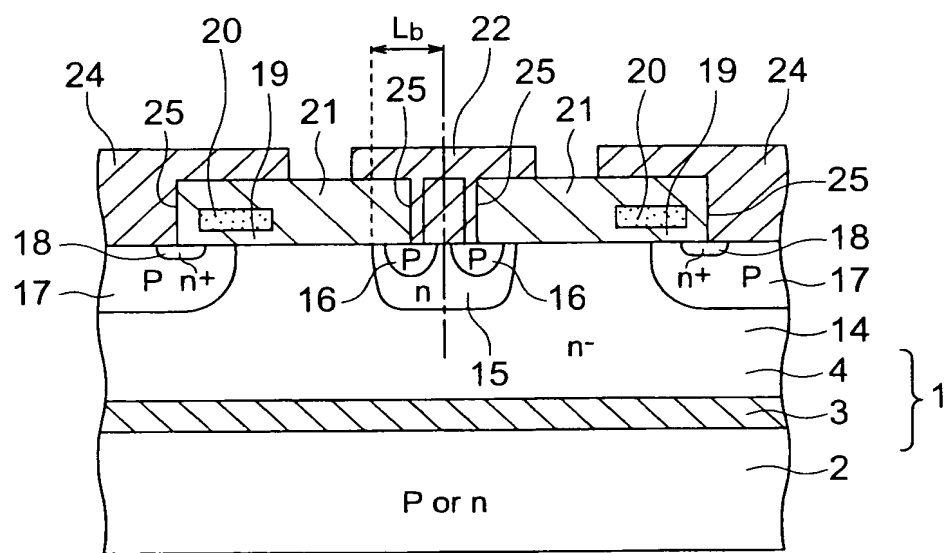
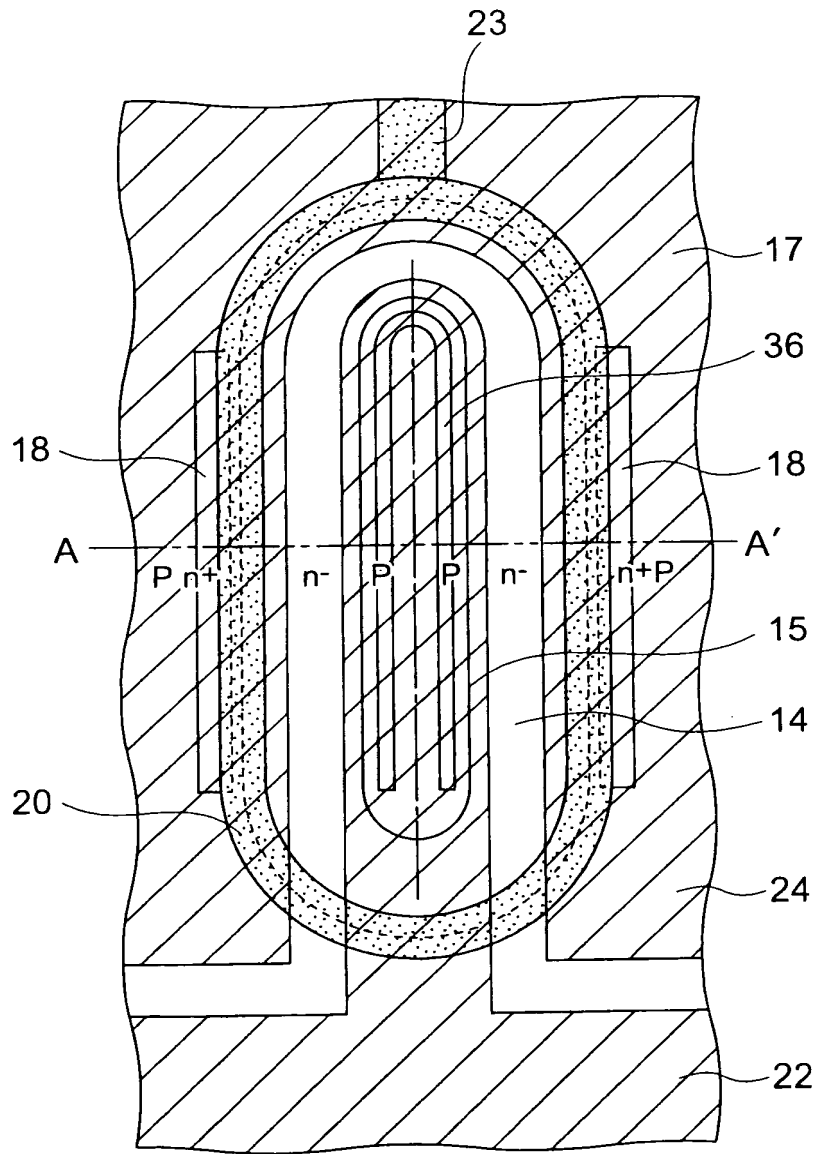


F I G. I

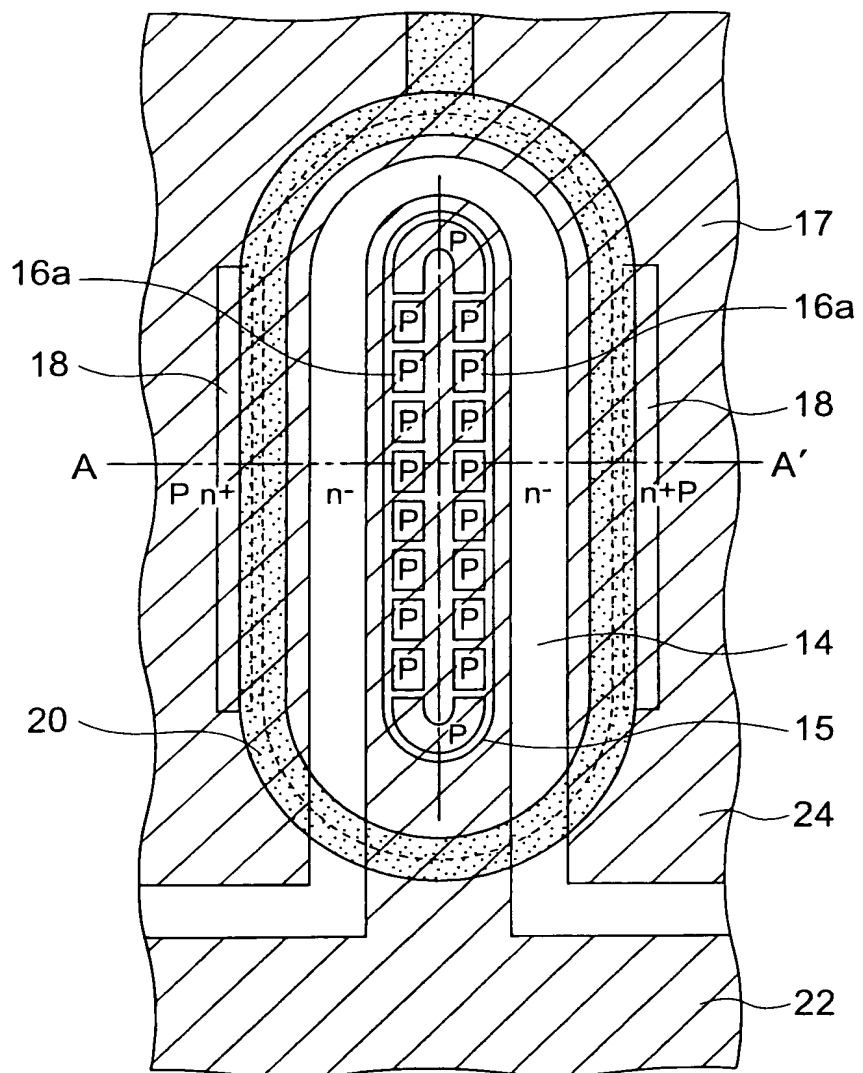


F I G. 2

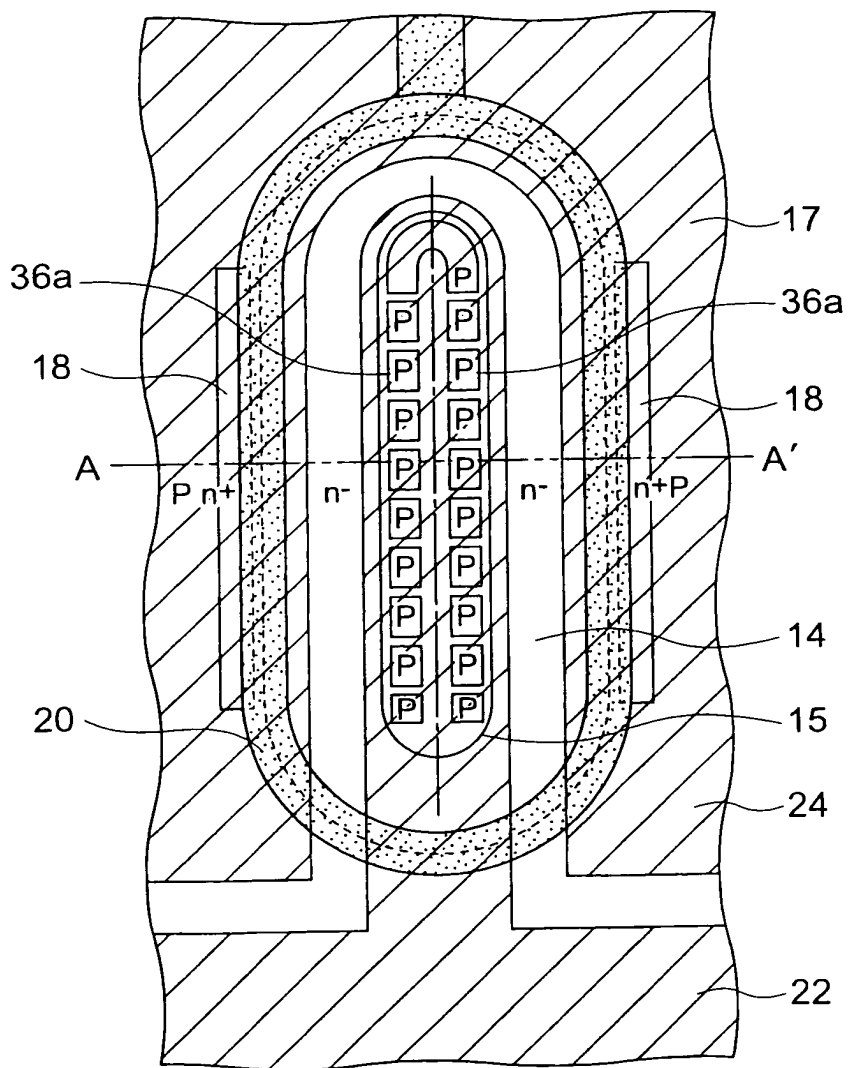


F I G. 3

4 / 23

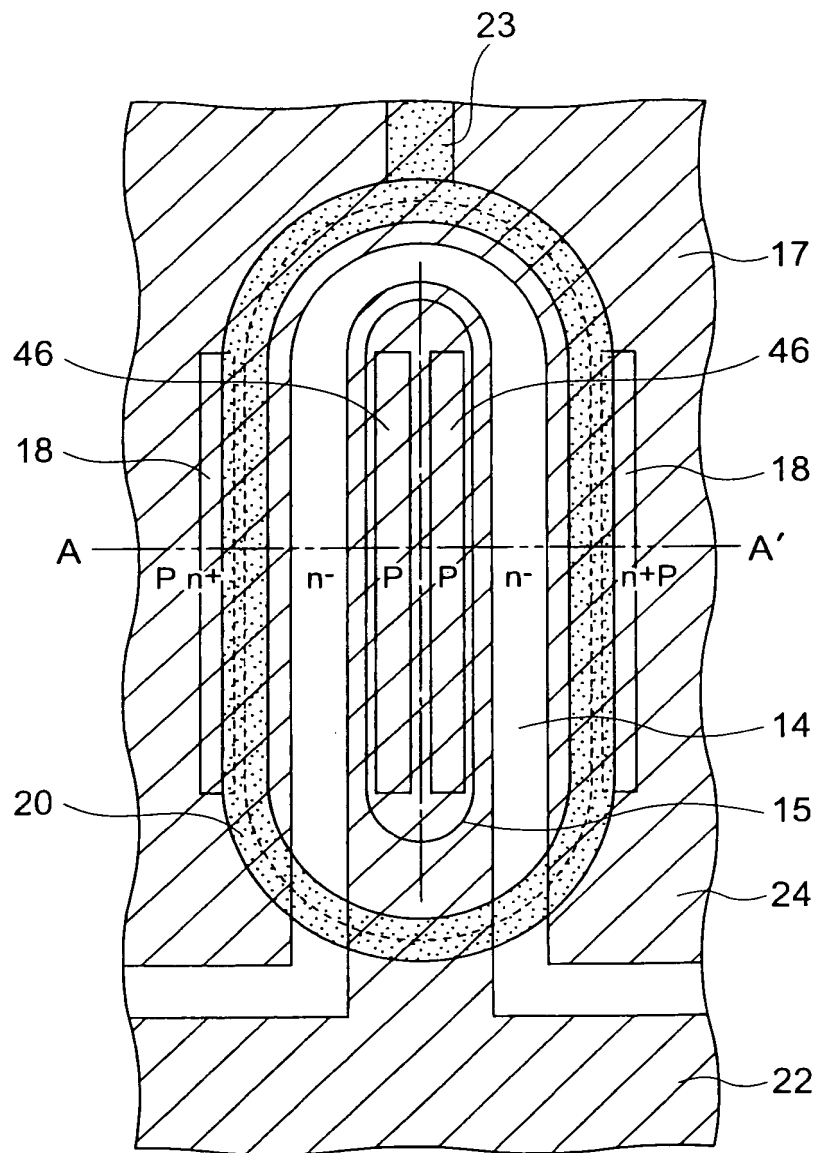


F I G. 4



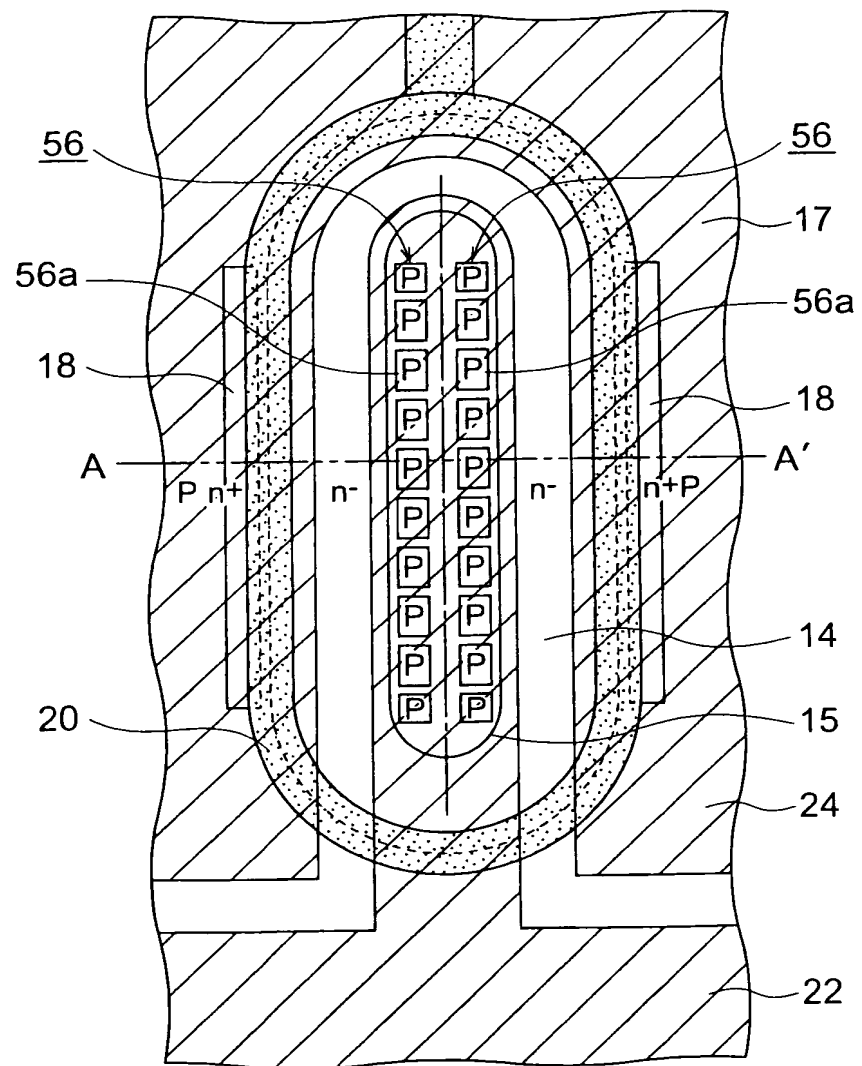
F I G. 5

6 / 23



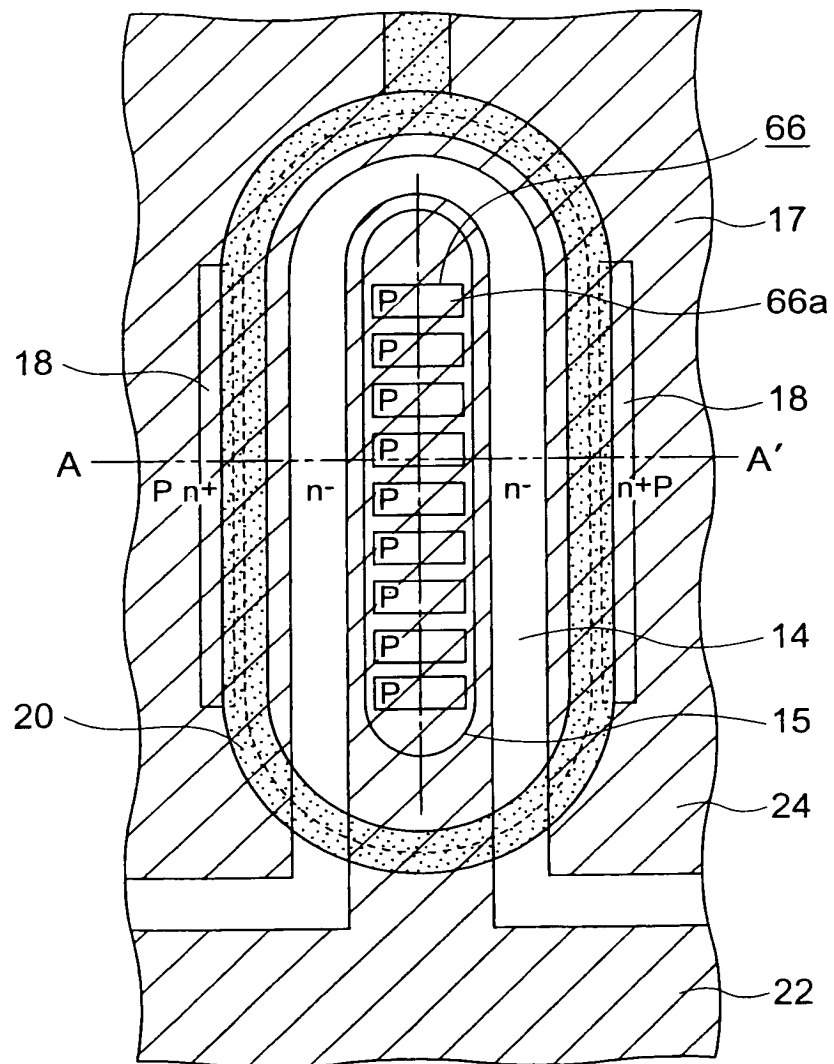
F I G. 6

7 / 23



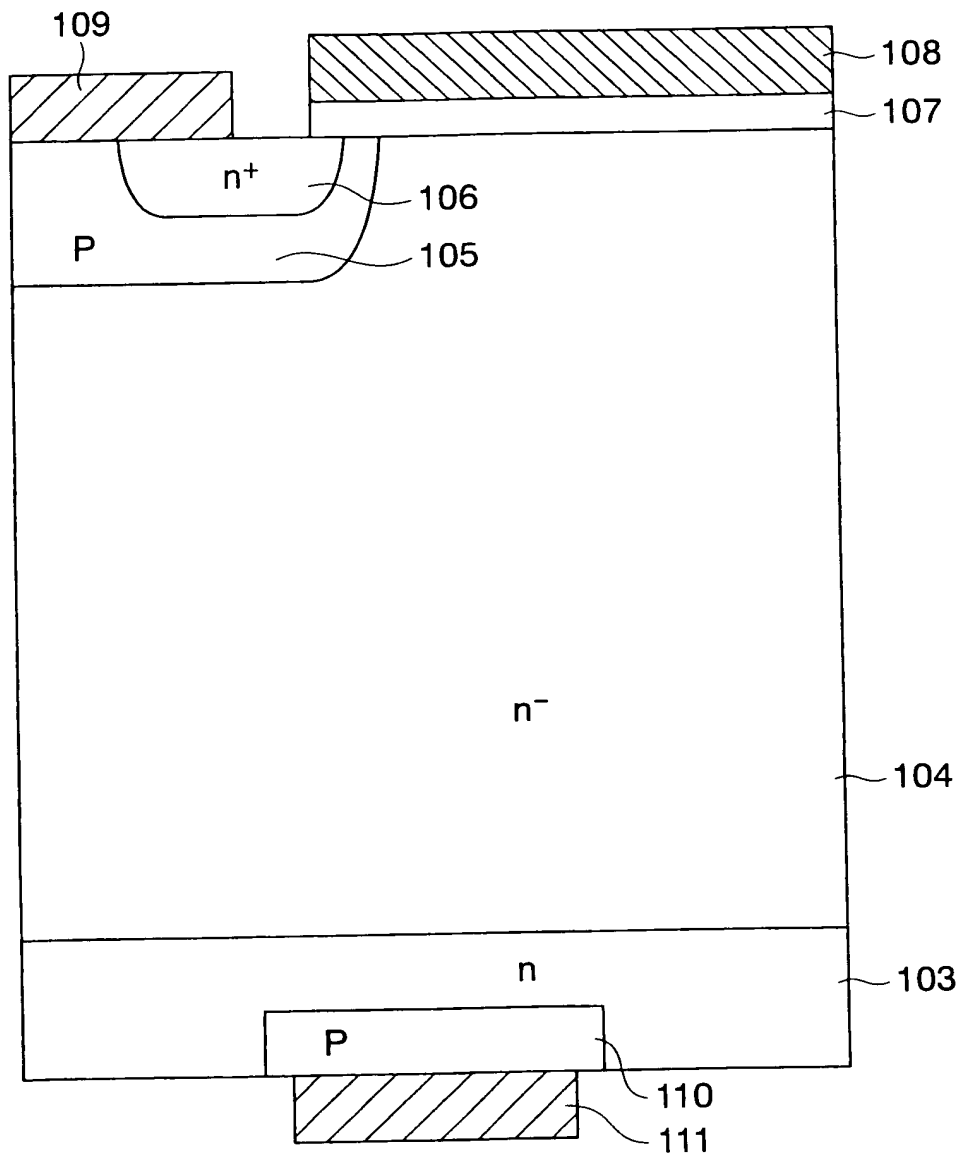
F I G. 7

8 / 23



F I G. 8

9 / 23



F I G. 9

10/23

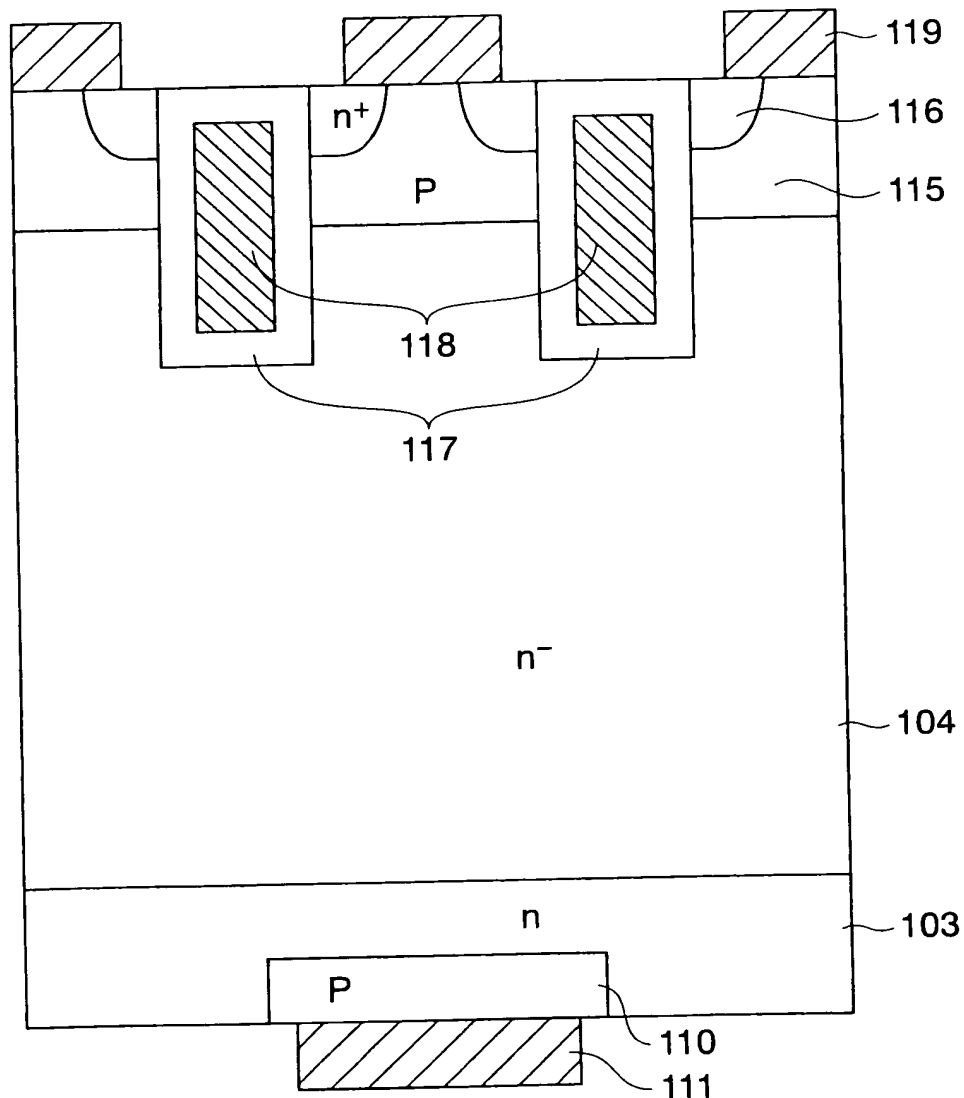
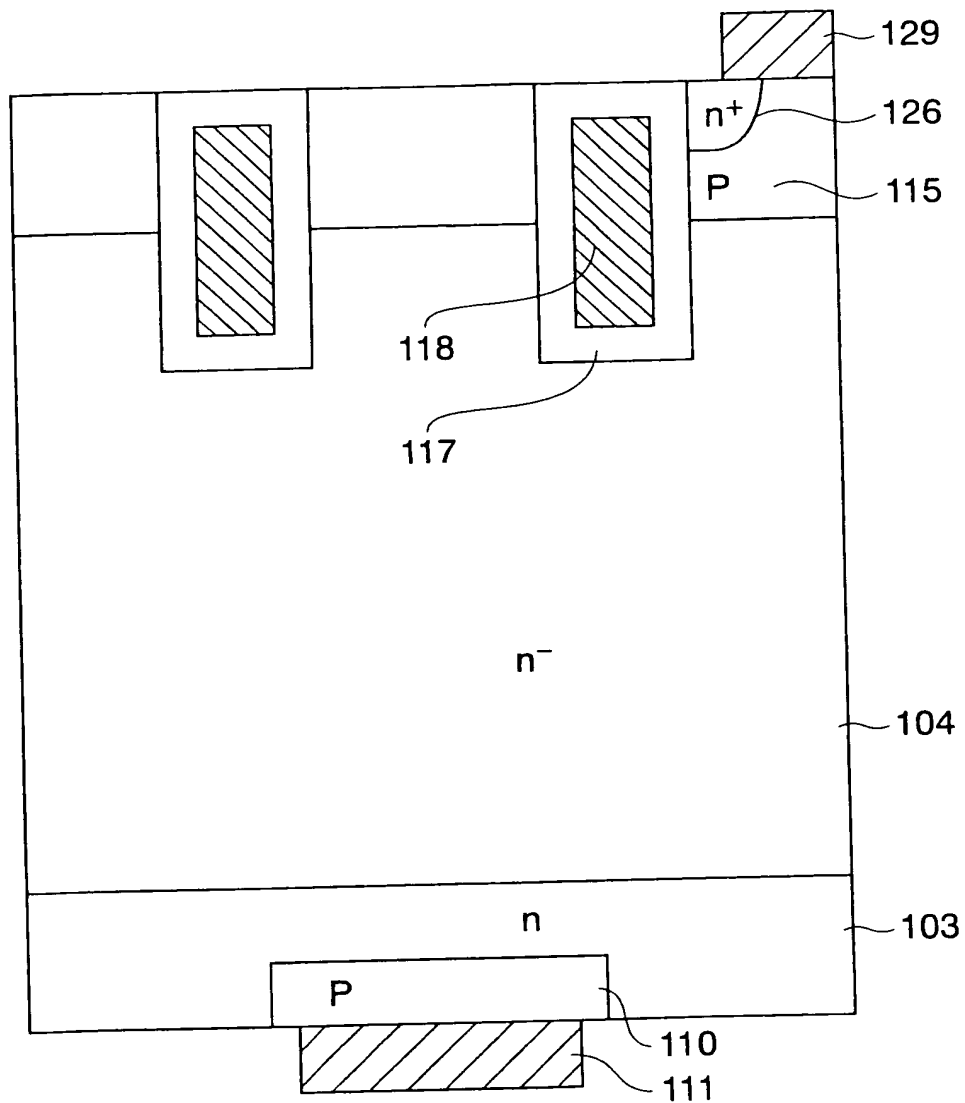


FIG. 10

11123



F I G. 11

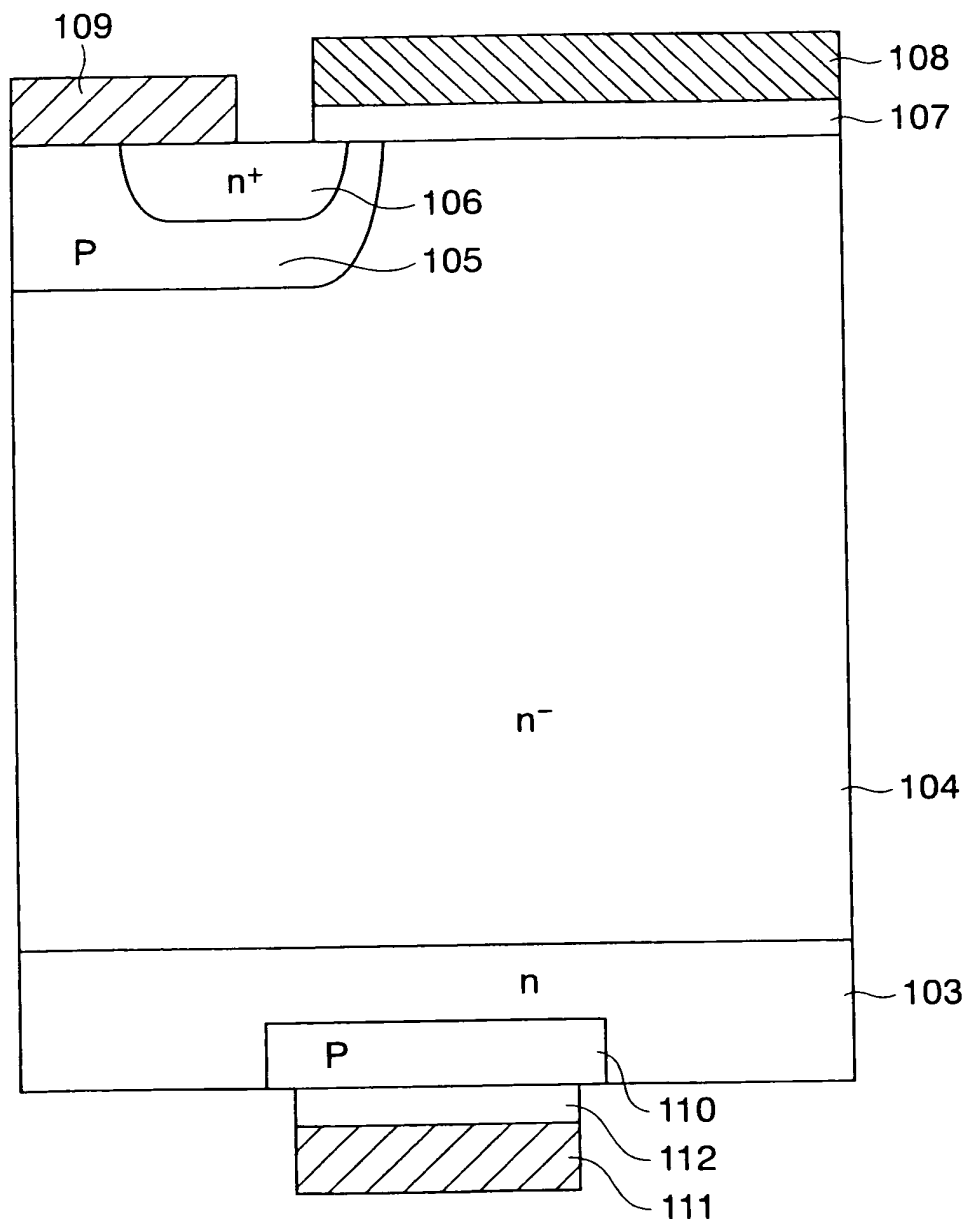


FIG. 12

13 / 23

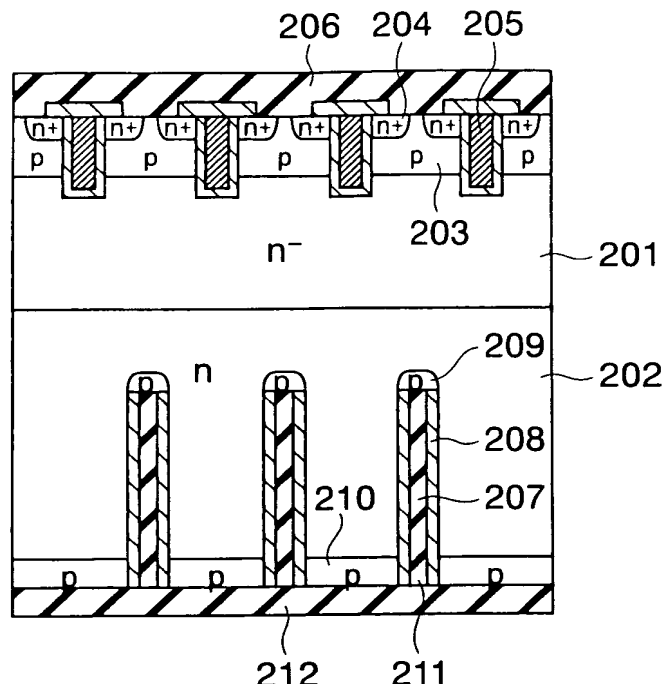


FIG. 13

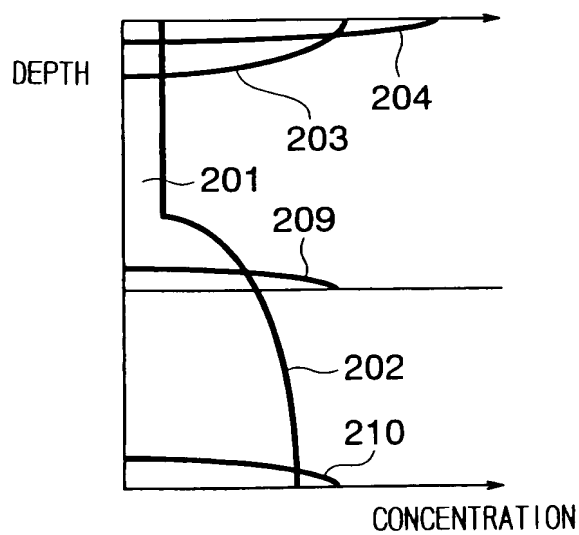


FIG. 14

14/23

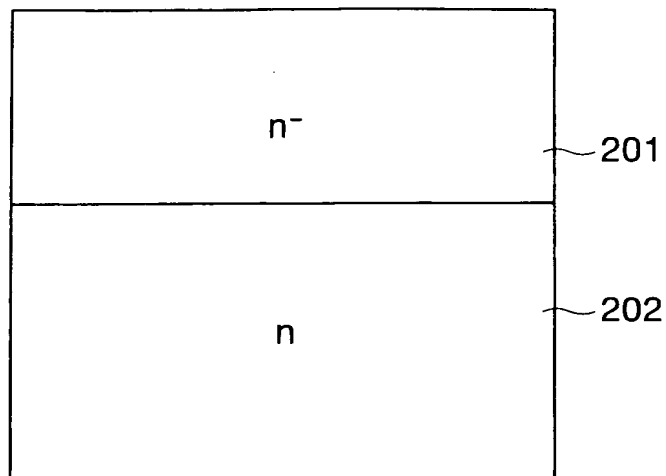


FIG. 15

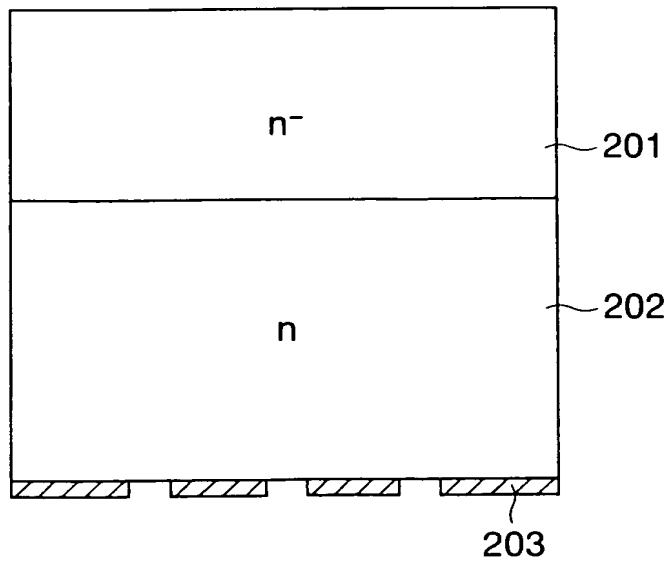


FIG. 16

15 / 23

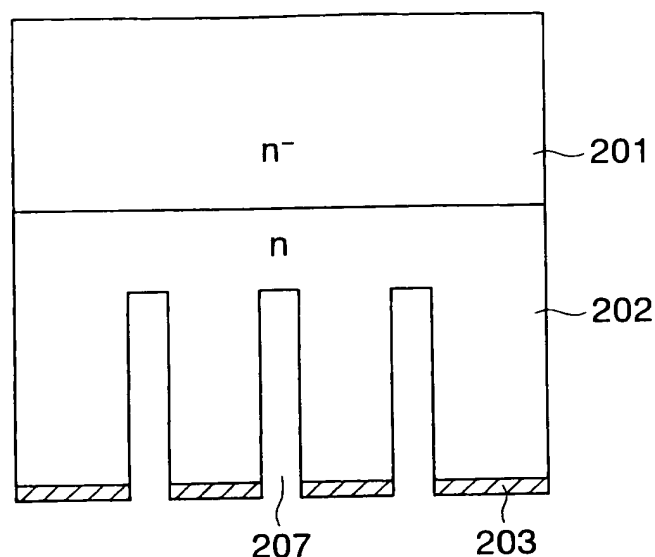


FIG. 17

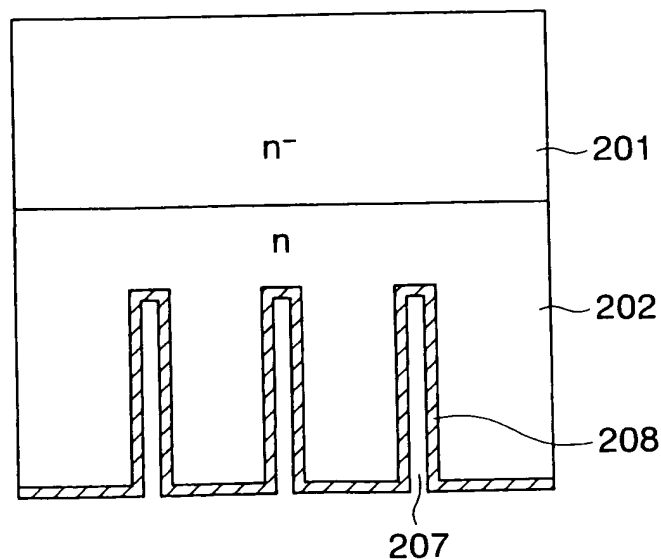


FIG. 18

16 / 23

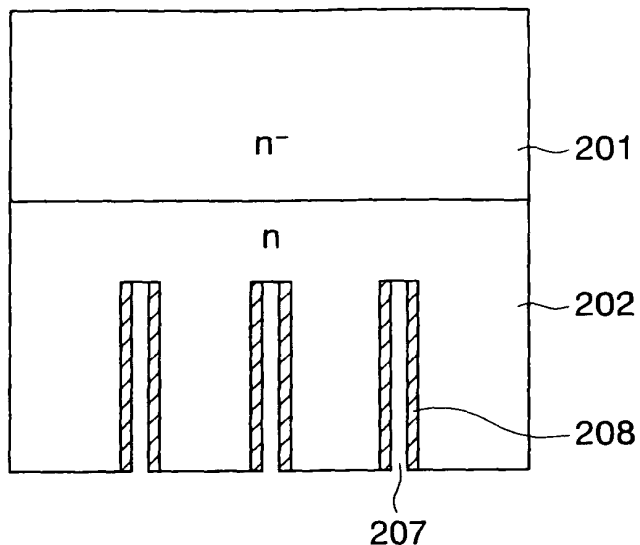


FIG. 19

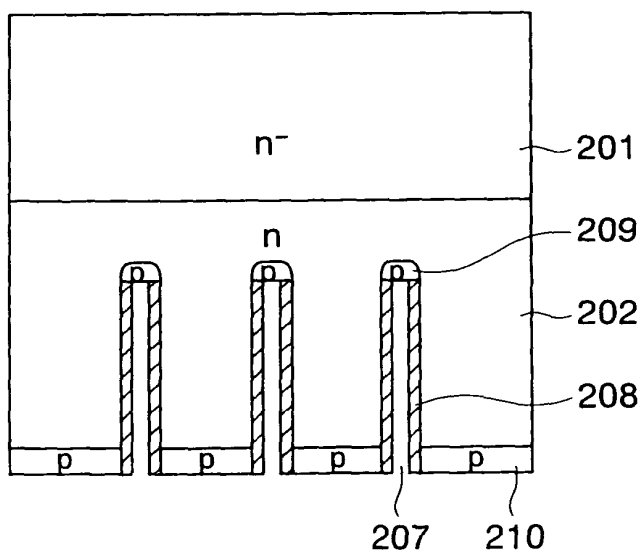
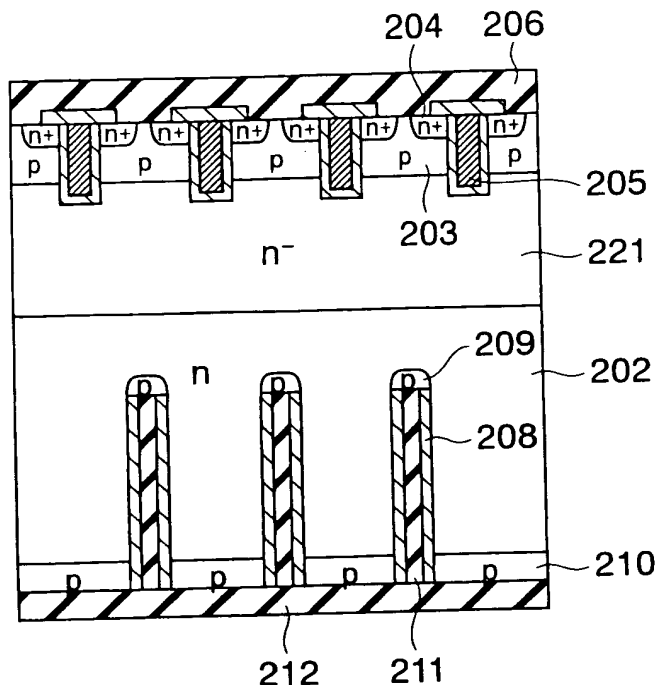
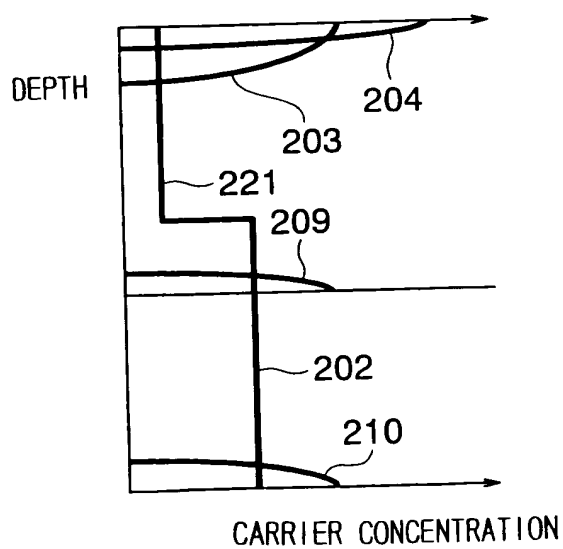


FIG. 20

17 / 23

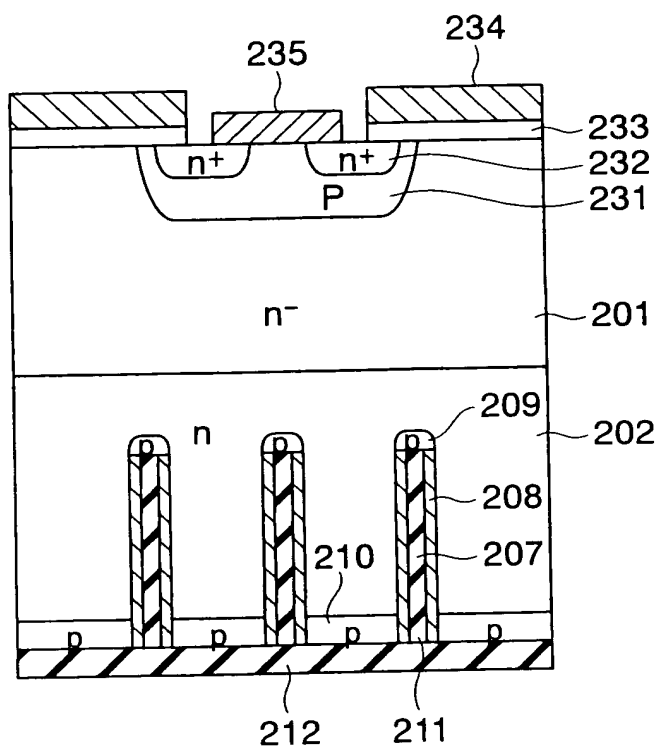


F I G. 21



F I G. 22

18 / 23



F I G. 23

19 / 23

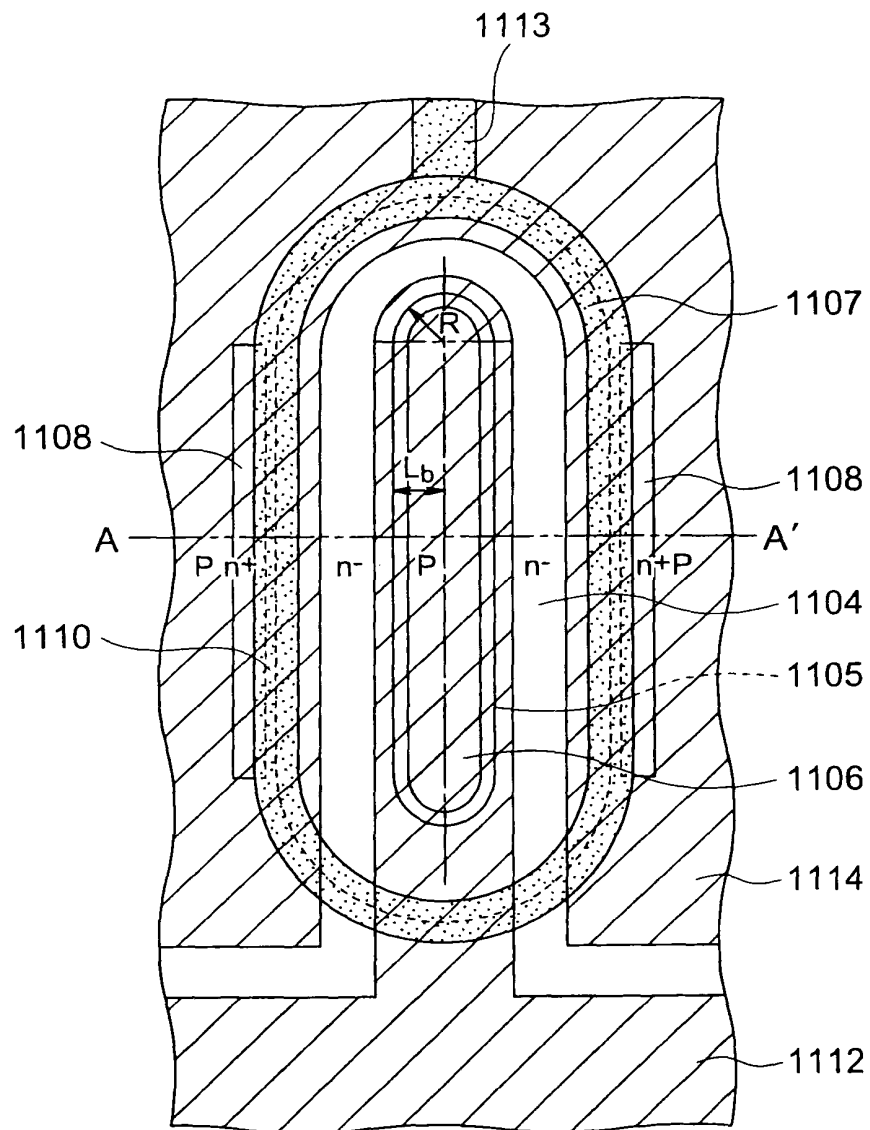
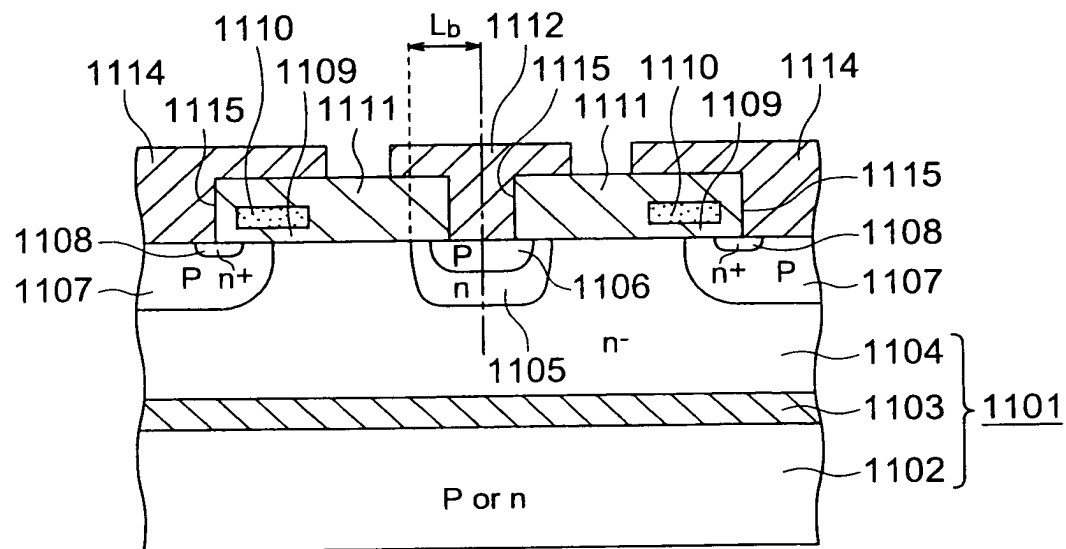


FIG. 24



F I G. 25

OBLON, SPIVAK, ET AL  
DOCKET#: 242778US2DIV  
INV: Yoshihiro YAMAGUCHI et al  
SHEET 21 OF 23

21 / 23

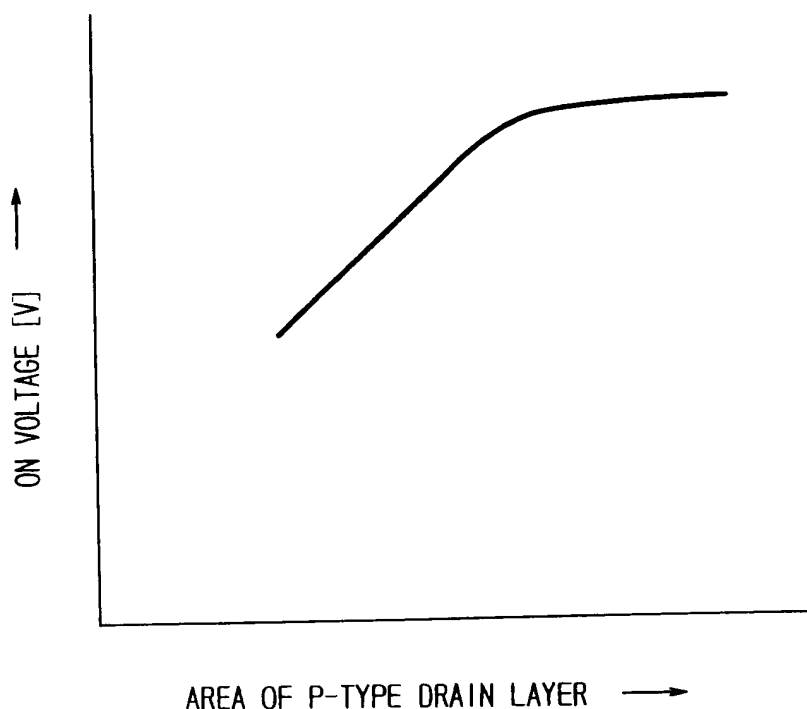
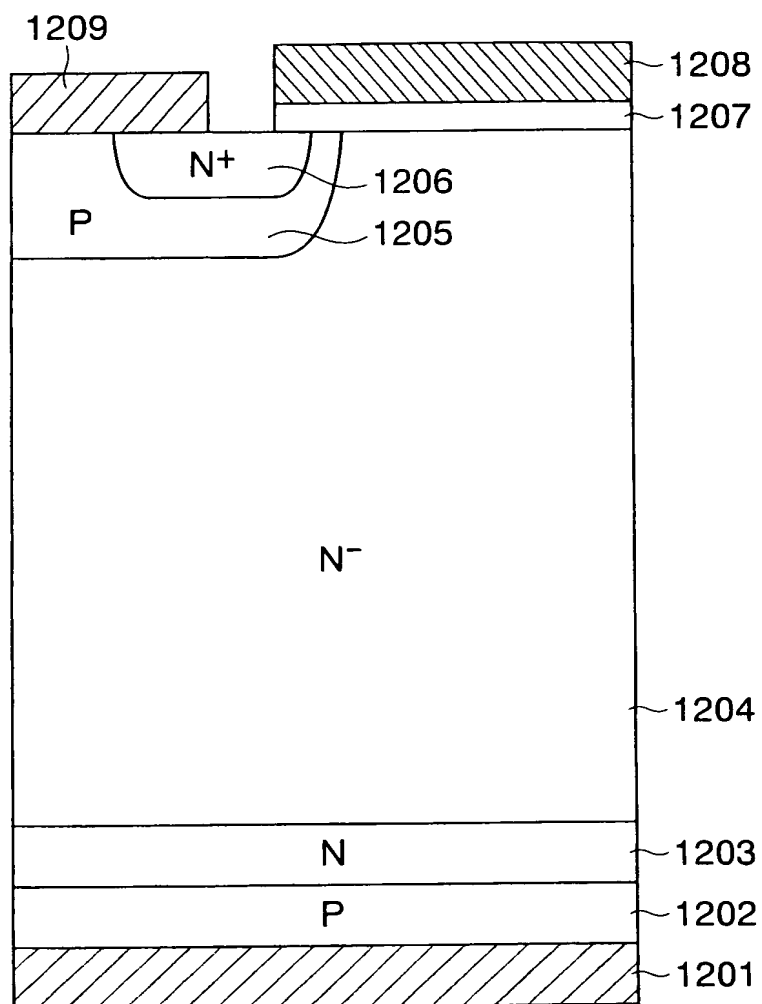


FIG. 26

22 / 23



F I G. 27

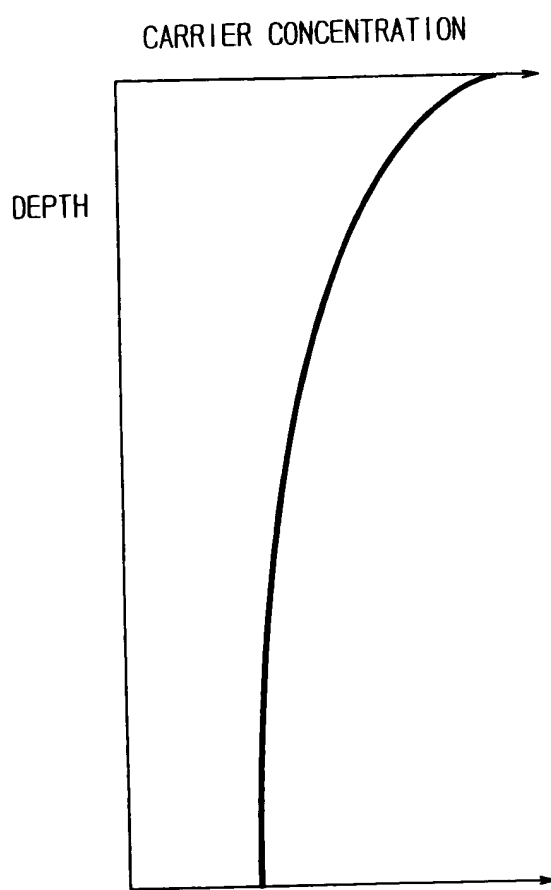


FIG. 28